

- Ross, L. : Reisen auf den griechischen Inseln des ägäischen Meeres.  
(3oester Brief: Karpathos, S. 50—69, 1 Karte). Stuttgart und  
Tübingen 1845.
- STEFANI, C. DE, FORSYTH MAJOR, C. J. & BARBEY, W. : Karpathos, études  
géologique, paléontologique et botanique.— S. 7—180, Taf.  
1—15, Lausanne 1895.
- VINASSA DE REGNY, P.: Radiolari cretaci dell'isola di Karpathos.— *Mem.  
R. Acc. Sc. Ist. Bologna*, S. (5), 9, S. 497—512, 1 Taf., Bo-  
logna 1901.
- ZAXOS, K. : 'Ο δρυκτὸς πλοῦτος τῆς Δωδεκανήσου. 'Αθῆναι 1947.

**ΟΡΥΚΤΟΛΟΓΙΚΗ ΑΝΑΛΥΣΙΣ ΜΕΤΑΛΛΕΥΜΑΤΟΣ  
ΚΙΡΚΗΣ, ΑΜΠΕΡΝΤΙΝ, ΚΙΓΚ - ΑΡΘΟΥΡ Κ.Λ.Π. (ΑΛΕΞΑΝΔΡΟΥΠΟΛΕΩΣ)  
ΜΕΤΑΛΛΟΓΕΝΕΣΙΣ\***

ΥΠΟ Γ. ΜΑΡΑΤΟΥ \*\*

'Η περὶ ᾧς πρόκειται μεταλλοφόρος περιοχὴ κεῖται εἰς ἀπόστασιν 20 Km Β.ΒΔ τῆς Ἀλεξανδρουπόλεως καὶ εἶναι γνωστὴ ὑπὸ τὴν ἐπωνυμίαν «Μεταλλεῖον Κίρκης» ἐκ τῆς κυριωτέρας μεταλλοφόρου θέσεως κειμένης εἰς ἀπόστασιν 4 Km βορείως τοῦ ὅμωνύμου χωρίου παρὰ τὸ Μαντὲμ-Ντερέ. Πλὴν τῆς θέσεως ταύτης κατὰ τὸ θέρος τοῦ 1960 ἐμελετήθησαν κοιτασματαλογικῶς ὑπὸ συνεργείου τοῦ I.G.E.Y. (4) καὶ πολλαὶ ἄλλαι ἐμφανίσεις ἡ ἀργοῦντα μεταλλεῖα εὑρισκόμενα ἐντὸς μιᾶς ἑκτάσεως 40 περίποντετραγ. χιλιομέτρων περὶ τὸ κυρίως μεταλλεῖον.

Αἱ κυριώτεραι τῶν θέσεων τούτων εἶναι αἱ ἀκόλουθοι: Ἀμπερντίν Κίγκ-Αρθουρ, οεῦμα Ἀρμούτσούκ, φρέαρ Ἀρμούτσούκ, Καπακλῆ-Μπουνάρ, Μαυρόπετρα, Κονατζίκι, Ἀκ-Μπομπᾶ, μεταλλεῖον Ἰατρίδου, Προφ. Ἡλίας, Καμπᾶ-Φουντούκ κ.ἄ. Εἰς δὲ αὐτὰς τὰς θέσεις ἡ μεταλλοφορία δὲν εἶναι ἔξι ίσου ἔκδηλος, εἰς τρόπον ὥστε εἰς μερικὰς τούτων (καὶ ὑπὸ τὴν παροῦσαν κατάστασιν μεταλλευτικῶν ἔργων) δὲν ἐμφανίζεται μετάλλευμα ἀλλὰ ἡ στενῶς συνοδεύουσα τοῦτο πυριτωμένη ζώνη μὲ βαθμὸν λειμωνιτιώσεως μεταβαλλόμενον ἀπὸ θέσεως εἰς θέσιν. Ἀναγκαστικῶς λοιπὸν ἐμελετήθη δρυκτολογικῆς διὰ τοῦ μεταλλογραφικοῦ μικροσκοπίου, διὰ μικροχημικῶν ἀντιδράσεων, ἐνίστε δὲ καὶ φασματοσκοπικῶς μόνον τὸ μετάλλευμα τῶν σημαντικωτέρων μεταξὺ τῶν ἀνωτέρω θέσεων.

\* G. MARATOS.— *Étude mineralogique du mineraï de Kirki, Aberdin, King - Arthur etc. (Thrace). Metallogenie.*

\*\* Γ. N. ΜΑΡΑΤΟΣ.— Διδάκτωρ Γεωλόγος ἐν τῷ I. G. E. Y., Metallogenist de la Sorbonne.

### Γεωλογικὴ θέσις καὶ μερφὴ τῶν κοιτασμάτων.

Δύο συστήματα συμμετέχουν εἰς τὴν γεωλογικὴν κατασκευὴν τῆς περιοχῆς: Τὸ κρυσταλλοσχιστῶδες ὑπόβαθρον καὶ τὰ Τριτογενῆ ἵζηματα μετὰ τῶν ἐν αὐτοῖς ἡφαιστιτῶν καὶ ἡφαιστειακῶν τόφφων. Εἰς τὴν πετρολογικὴν σύνθεσιν τοῦ πρώτου συμμετέχουν γνεύσιοι, σχιστόλιθοι μαρμαρυγιακοί, χλωριτικοί, ἀμφιβολιτικοί, γαββροπηγματῖται, δῆξινοι πηγματῖται καὶ ἄπλιται. Τὸ δευτέρον συνίσταται ἀπὸ ἐναλλαγὰς κροκαλοπαγῶν, ψαμμιτῶν, ἀργιλλικῶν σχιστολίθων, μαργῶν, μαργαϊκῶν ἀσβεστολίθων καὶ ἀσβεστολίθων. Ἡ κλαστικὴ μορφὴ τοῦ ἵζηματος καὶ ἡ πετρόλογικὴ του ποικιλία ἐνθυμίζει κατὰ πολὺ τὸν φλύσκην, ἀλλων περιοχῶν τῆς Ἑλλάδος. Οἱ Ε. ΚΑΡΑΓΕΩΡΓΙΟΥ καὶ Γ. ΧΡΙΣΤΟΔΟΥΛΟΥ (2) καθώρισαν ὡς Λουτήσιον τὴν ἥλικιαν του.

<sup>°</sup>Ἐντὸς τοῦ ἥκαινικοῦ τούτου συστήματος συναντῶνται ἡφαιστειογενῆ πετρώματα κυρίως ἀνδεσίται καὶ δακίται, ἀλλὰ καὶ ρυόλιθοι. Οἱ τελευταῖοι ἐμφανίζονται εἰς τὴν Κίονην ὑπὸ μορφὴν φλεβῶν ἢ φλεβικῶν σωρῶν. <sup>°</sup>Ἐπίσης εἰς τοὺς λόφους Καντῆ-Κοντοῦ καὶ Κελεμπὲκ συναντᾶται χαλαζιακὸς διορίτης σύγχρονος τῶν ἡφαιστιτῶν μὲ σαφεῖς ζώνας μεταβάσεως μεταξὺ τούτου καὶ τῶν τελευταίων. <sup>°</sup>Όλα τὰ ἀνωτέρω πετρώματα μελετηθέντα ὑπὸ τοῦ Π. ΡΕΝΤΖΕΠΕΡΗ (9) θεωροῦνται προϊόντα ἡφαιστειακῆς δράσεως ἐκδηλωθείσης κατὰ τὸ Ἡώκαινον καὶ συνεχισθείσης κατὰ περιόδους μέχρι τὸ Μειόκαινον μὲ ἔξελιξιν ἐκ τῶν βασικωτέρων πρὸς τὰ δέξινωτερα. Πρόγματι τὸ δέξινωτερον μέλος, οἱ ρυόλιθοι, εἶναι σαφῶς νεώτεροι διασχίζοντες ὡς φλέβες, τόσον τὰ ἥκαινικὰ ἵζηματα δόσον καὶ τοὺς προπυλιτιωμένους δακίτας καὶ ἀνδεσίτας.

<sup>°</sup>Ἐντὸς τοῦ ἀνωτέρω ἐν συνόψει σκιαγραφηθέντος γεωλογικοῦ περιβάλλοντος ἐμφανίζονται τὰ κοιτάσματα τῶν μικτῶν θειούχων μεταλλευμάτων. Εἴναι στενῶς συνδεδεμένα μετὰ τῶν οργμάτων καὶ τῶν μεταπτώσεων αἴτινες διελαύνουν τὴν περιοχὴν μὲ κατευθύνσεις: α) Β. ΒΔ 5-15° N. ΝΑ β) ΒΔ. Δ 50-70° ΝΑ.Α καὶ γ) ΒΑ 15-40° ΝΔ. Ἡ μεταλλοφορία περιορίζεται ἐντὸς τῶν οργμάτων, ὡς μετάλλευμα πληρώσεως φωγμῶν (remplissage), ἐνίστε δὲ ἐμποτίζει τούλαχιστον ἐν μέρει τὴν ἐγγὺς τούτων μυλωνιτοποιημένην ζώην, δημιουργοῦσα οὕτω φλεβικὰ κοιτάσματα μὲ κατὰ θέσεις θυλάκους. Τὰ μεταλλοφόρα ορήματα εἶναι κυρίως τῆς πρώτης ἐκ τῶν ἀνωτέρω δοθεισῶν κατευθύνσεων, δλιγάντερον δὲ τῆς δευτέρας.

<sup>°</sup>Ἡ δοθεῖσα εἰκὼν ἔχει ἐφαρμογὴν εἰς ὅλας τὰς περιπτώσεις πλὴν ἔκεινων τοῦ Κίγκ-”Αρθουρ καὶ Ἀμπερτίν, ὅπου τὸ μετάλλευμα, ἐκτὸς τῆς παρακολουθήσεως τῶν οργμάτων, ἐμφανίζεται ὡς διάσπαρτοι κόκκοι ἢ ὡς πλέγμα φλεβιδίων διαφόρων κατευθύνσεων τόσον ἐντὸς τοῦ ἡφαιστίτου, δόσον καὶ ἐντὸς τοῦ πηγματίτου ἢ τῶν γειτνιαζόντων κρυσταλλοσχιστῶδων πετρωμάτων. Εἰς τὴν περίπτωσιν Ἀμπερτίν ὁ ἡφαιστίτης δὲν ἐμφανίζεται καὶ τὸ μετάλλευμα περιορίζεται ἐντὸς ωργματος διελαύνοντος πηγματίψηφιακή Βιβλιοθήκη “Θεόφραστος” - Τμήμα Γεωλογίας. Α.Π.Θ.

την, ἀλλὰ καὶ διάσπαρτον ἐντὸς τοῦ πηγματίτου καὶ τῶν περιβαλλόντων κρυσταλλοσχιστωδῶν. Πρόκειται προφανῶς περὶ διαφόρων σταδίων μεταλλογενέσεως, ἀλλὰ περὶ τούτου εἰς τὰ ἔπομενα.

### 'Ορυκτολογικὴ ἀνάλυσις τοῦ μεταλλεύματος.

Τὸ μετάλλευμα μικροσκοπικῶς ἔξεταζόμενον διαπιστοῦται συνιστάμενον ἐκ γαληνίτου, σφαλερίτου, βιουρτσίτου, χαλκοπυρίτου, σιδηροπυρίτου καὶ τῶν δευτερογενῶν μεταλλικῶν ὄρυκτῶν μαλαχίτου, ὁξουρίτου, λειμωνίτου, καλαμίνας κ. ἄ. Ἐμφανίζεται εἰς διασπάρτους κρυστάλλους ἢ εἰς φωλεάς ἐκ μικροκρυσταλλοφυῶν συσσωματωμάτων ἐντὸς τῆς συνοδοῦ μὴ μεταλλικῆς παραγενέσεως. Ἡ τελευταία συνίσταται ἀπὸ χαλαζίαν κυρίως, καολίνην, ἀσβεστίτην, ὀλίγον βαρύτην.

Ἐπὶ τῆς παρουσίας εἰς τὸ μετάλλευμα Κίρκης τοῦ ἔξαγωνικῆς μορφῆς θειούχου ψευδαργύρου, τοῦ βιουρτσίτου, ἐδημοσίευσαν οἱ RAMDOHR WEBISKY (8) καὶ οἱ ΠΑΠΑΣΤΑΜΑΤΙΟΥ — ΠΕΡΤΕΣΗΣ (6). Ἐπίσης εἰς δακτυλογραφημένην ἔκθεσίν του ὁ Α. ΔΟΥΝΑΣ (1) δίδει ἀρκετὰ ἐκ τῶν συνιστώντων τὸ μετάλλευμα ὄρυκτων. Ἐν τούτοις ἔλλείπει μία πλήρης ὄρυκτολογικὴ ἀνάλυσις τοῦ μεταλλεύματος Κίρκης.

Εἰς στιλπνὰς τομὰς ἔξητάσθη μικροσκοπικῶς τὸ μετάλλευμα τῶν θέσεων: Μεταλλείον Κίρκης, Κίγκ-Ἄρθουρ, Ἀμπερντίν, Ἀρμουτπούκ, Ἀκ-Μπομπᾶ καὶ Προφ. Ἡλίας.

**«Θέσις Μεταλλεῖον Κίρκης».** Διεπιστώθη ἡ παρουσία ἔξι συνολικῶς ὄρυκτῶν, ἦτοι: γαληνίτου, σφαλερίτου, βιουρτσίτου, ἀρσενοπυρίτου, χαλκοπυρίτου καὶ τετραεδρίτου-τενναντίτου (Cuivre gris). Τὰ ὄρυκτὰ τοῦ χαλκοῦ ἐμφανίζονται ὡς μικρὰ ἐγκλείσματα ἐντὸς σφαλερίτου ἢ ὡς ἀπομονωμένα κοκκία ἐντὸς τῆς μὴ μεταλλικῆς παραγενέσεως. Οἱ ἀρσενοπυρίτης, σφαλερίτης καὶ γαληνίτης ἀναπτύσσονται μὲν ἀμοιβαίως διεισδύοντα δρια (Structure à limites mutuelles), γεγονὸς ὑποδηλοῦν σύγχρονον γένεσιν τῶν ὄρυκτῶν τούτων. Τὰ ὄρυκτὰ τοῦ χαλκοῦ εἶναι μεταγενέστερα.

Ο βιουρτσίτης εἰς ἀπομονωμένους συχνὰ ἵδιομόρφους κρυστάλλους ἔξαγωνικῆς τομῆς ἢ εἰς συσσωματώματα ἐμφινίζεται ἐντὸς τοῦ χαλαζίου. Σπανίως ἔχει κοινὰ δρια μετά τῶν ἄλλων μεταλλικῶν ὄρυκτῶν, εἰκάζεται δὲ μεταγενέστερος τούτων καίτοι δὲν ὑπάρχουν σαφεῖς περὶ τούτου μικροσκοπικὰ ἀποδείξεις. Ο ἵδιος συμπερεφέρεται ὑπὸ τὸ μικροσκόπιον ὡς δ σφαλερίτης. Αἱ μόναι διαφοραί των εἶναι ἀφ' ἐνὸς ὅτι δ βιουρτσίτης δὲν παρουσιάζει διδυμίαν κατὰ ἔλασματα (lamelles), ἐνῶ διὰ τὸν σφαλερίτην ἡ τοιαύτη διδυμία εἶναι πολὺ συνήθης καὶ ἀφ' ἐτέρου ὅτι δ βιουρτσίτης ἐμφανίζει ἐντόνους ἐσωτερικὰς ἀνακλάσεις κιτρίνου χρώματος, ἐνῶ αἱ τοιαῦται τοῦ σφαλερίτου εἶναι καστανέρυθροι καὶ ὅχι τόσον ἐντονοί. Πέραν τούτων οἱ ἔξαγωνικῆς τομῆς ἵδιόμορφοι κρύσταλλοι τοῦ βιουρτσίτου εἶναι ἀρκετὸν καὶ σαφεῖς στοιχεῖον διαχωρισμοῦ του ἀπὸ τὸν σφαλερίτην.

‘Ο ἀρσενοπυρίτης ἐμφανίζεται εἰς φυσικὸν φῶς λευκὸς ὑπὸ τὸ μικροσκόπιον. ‘Η ἀνακλαστική του ἵκανότης μετρηθεῖσα διὰ μικροφωτομέτρου (10) εὑρέθη 0,50 γραφικῶς καὶ 0,498 διὰ τοῦ τύπου τῶν ἡμιτόνων. Οἱ κρύσταλλοι του εἶναι ὑπιδιόμορφοι καὶ πολύδυμοι κατὰ ἐλάσματα (lamelles). Εἰς διεσταυρωμένα Nicols εἶναι ἵσχυρῶς ἀνισύτροπος καὶ παρουσιάζει χρώματα : τεφρόν-ροδόχρους καὶ κυανοπράσινον.

‘Ολαι αἱ ἀνωτέρῳ ἴδιότητες ἥσαν ἀρκεταὶ διὰ τὸν χαρακτηρισμὸν τοῦ δρυκτοῦ, πέραν ὅμως τούτων ἔγινε καὶ μικροχημικὴ ἀντίδρασις διὰ  $\text{HNO}_3$ , τὸ δποῖον ταχέως τὸν προσέβαλε καὶ τοῦ προσέδωσε καστανὴν ἀπόχρωσιν (χαρακτηριστικὴ τοῦ ἀρσενοπυρίτου ἀντίδρασις).

‘Ἐκ τῶν μικροσκοπικῶν δεδομένων δὲν προέκυψε σιφῶς ἢ διαδοχὴ γενέσεως τῶν δρυκτῶν. Μετὰ βεβαιότητος ἔν μόνον, μέχρι στιγμῆς, δύναται νὰ λεχθῇ : ‘Η δμάς ἀρσενοπυρίτης, σφαλερίτης, γαληνίτης προηγήθη τῆς δμάδος χαλκοπυρίτης, τετραεδρίτης-τενναντίτης, βουρτσίτης.

**«Θέσις Κίγκ-Αρθουρ».** Εἰς τὰ ἐκ τῆς θέσεως ταύτης παρασκευάσματα διεπιστώθησαν τὰ ἀκόλουθα δρυκτά: σιδηροπυρίτης, σφαλερίτης, γαληνίτης, βουρτσίτης, κοβελίνης. ‘Ο σφαλερίτης καὶ ὁ γαληνίτης ἐπιβάλλονται ποσοτικῶς εἰς τὴν σύστασιν τοῦ μεταλλεύματος. Τὴν τοίτην θέσιν ἔχει ὁ χαλκοπυρίτης.

‘Ο τελευταῖος ἐμφανίζεται εἰς μικροσκοπικὰ πολυάριθμα ἐγκλείσματα (φωτογρ. 1) ἐντὸς σφαλερίτου. ‘Ως γνωστὸν ἡ ὑπαρξίες ἐνὸς δρυκτοῦ εἰς ἐγκλείσματα ἐντὸς ἄλλου δὲν εἶναι ἀπόλυτον τεκμήριον περὶ τῆς σχετικῆς ἡλικίας γενέσεώς των. Τὸ εἰς ἐγκλείσματα δρυκτὸν θὰ ἡδύνατο νὰ εἶναι προγενέστερον ἢ μεταγενέστερον τοῦ περιβάλλοντός του. Διὰ τὴν προκειμένην ὅμως περίπτωσιν ἡ σχετικὴ ἡλικία τῶν δύο δρυκτῶν διασαφίζεται εἰς ἄλλο παρασκεύασμα ἐκ τῆς αὐτῆς θέσεως, δύον δ χαλκοπυρίτης δημιουργεῖ πλέγμα φλεβίδιων ἐντὸς τοῦ σφαλερίτου (φωτογρ. 2), εἶναι ἐπομένως δ χαλκοπυρίτης μεταγενέστερος. Εἰς τὴν ἰδίαν φωτογραφίαν φαίνεται καὶ ἡ σχέσις ἡλικίας τοῦ γαληνίτου ὡς πρὸς τὰ δύο ἄλλα, διότι ἐνῶ εὑρίσκεται εἰς ἐπαφὴν μετὰ τοῦ σφαλερίτου καὶ χαλκοπυρίτου, δ τελευταῖος δὲν δημιουργεῖ φλεβίδια ἐντὸς τοῦ γαληνίτου, ἀλλὰ μόνον ἐντὸς τοῦ σφαλερίτου, ἐπὶ πλέον μεταξὺ τῶν δύο ὑπάρχουν δριταὶ μὲ ἀμοιβαίας ἐγκολπώσεις (limites mutuelles). ‘Αρα ἀμφότερα εἶναι μεταγενέστερα τοῦ σφαλερίτου μὲ τὸν γαληνίτην σύγχρονον ἢ ἐλαφρῶς νεώτερον τοῦ χαλκοπυρίτου.

‘Ο γαληνίτης ἐμφανίζεται εἰς ἐκτεταμένα συσσωματώματα μεγάλων σχεικῶς κρυσταλλῶν, γεγονὸς δπερ ἐπέτρεψε τὴν μέτρησιν τῆς ἀνακλαστικῆς του ἵκανότητος, εὑρεθείσης 0,435. ‘Ἐπίσης πλὴν τοῦ τελείου ἐξαεδρικοῦ σχισμοῦ κατὰ (100), δ γαληνίτης τοῦ Κίγκ-Αρθουρ, παρουσιάζει καὶ τὸν δικταεδρικὸν σχισμὸν κατὰ (111) σαφῶς, μὲ ἀποτέλεσμα τὴν ἐμφάνισιν τῶν χαρακτηριστικῶν προσανατολισμένων τριγώνων σχισμοῦ τοῦ γαληνίτου (φωτογρ. 3).

‘Ο βουρτσίτης κατὰ μικρὸν ποσοστὸν συμμετέχει εἰς τὴν σύνθεσιν

τοῦ μεταλλεύματος ἐμφανιζόμενος εἰς ἀπομονωμένους κρυστάλλους ἢ μικρὰ συσσωματώματα ἐντὸς τοῦ χαλαζίου.

‘Ο σιδηροπυρίτης ἐμφανίζεται εἰς ἴδιομόρφους ἢ ὑπιδιομόρφους μεγάλους κρυστάλλους, οἵτινες ἔχουν διαβρωθῆ τόσον ἀπὸ τὸν σφαλερίτην, δσον κυρίως ἀπὸ τὸν χαλκοπυρίτην, δστις συχνὰ περιβάλλων τούτους τοὺς ἀπομονώνει ἐντὸς τῆς μάζης του (ὑφὴ κατὰ νησίδας, structure en îlots). ‘Ο τρόπος οὗτος ἐμφανίσεως δεικνύει ὅτι ὁ σιδηροπυρίτης εἶναι προγενέστερος καὶ αὐτοῦ τοῦ σφαλερίτου.

Τέλος ὁ κοβελίνης εἶναι μεταγενέστερος καὶ τοῦ χαλκοπυρίτου ἐμφανιζόμενος εἰς λεπτὰ φλεβίδια διελαύνοντα τοῦτον. Εἰς φυσικὸν φῶς ἔχει χρῶμα κυανοῦν καὶ εἶναι πλεοχρωῷκὸς εἰς τόνους τοῦ κυανοῦ. Ὁχει χαμηλὴν ἀνακλαστικὴν ἵκανότητα συγκρίσιμον μὲ ἐκείνην τοῦ σφαλερίτου. Εἰς διεσταυρωμένα Nicols δεικνύει τέσσαρας κατασβέσεις καὶ εἶναι ἰσχυρότατα ἀνισότεροπος μὲ χρώματα ἐρυθροκύανον καὶ τὸ χαρακτηριστικὸν ἐρυθρὸν τῆς «φωτιᾶς».

Ἐν ἀνακεφαλαιώσει ἡ διαπιστωθεῖσα διαδοχὴ τῶν ὀρυκτῶν διὰ τὸ Κίγκ-Αρθουρ εἶναι ἡ ἀκόλουθος: Σιδηροπυρίτης, σφαλερίτης, χαλκοπυρίτης-γαληνίτης, κοβελίνης καὶ βουρτσίτης, νέος μέν, ἀλλὰ μὴ τοποθετούμενος ἐντὸς τῆς σειρᾶς, λόγῳ ἀπομονώσεως του ἐντὸς τῶν μὴ μεταλλικῶν ὀρυκτῶν.

**Θέσις Ἀμπερνίν.** Διεπιστώθη ἡ παρουσία τῶν: σιδηροπυρίτου, πυροστίνου, σφαλερίτου, χαλκοπυρίτου, ἐναργίτου, βιορνίτου, καὶ ραμελσθεργίτου. Ποσοτικῶς ἐπικρατεῖ ὁ χαλκοπυρίτης, ἐνῶ τὴν δευτέραν θέσιν κατέχει ὁ σιδηροπυρίτης. “Ολα τὰ ἀλλα ὀρυκτὰ εἶναι εἰς μικρὰς ἀναλογίας.

‘Ο σιδηροπυρίτης εἶναι εἰς ἴδιομόρφους καὶ ὑπιδιομόρφους κρυστάλλους. Περιβάλλεται, διαβιβρώσκεται καὶ ὑφίσταται διεισδύσεις ἀπὸ χαλκοπυρίτην. Εἶναι μεταξὺ τῶν ἀρχαιοτέρων ὀρυκτῶν.

‘Ο σφαλερίτης συμμετέχει εἰς μικρὰν ἀναλογίαν. Παρουσιάζεται ὡς νησῖδες (Structure en îlots) ἐντὸς τῆς θαλάσσης τοῦ χαλκοπυρίτου, ὁ δοποῖς τὸν περιβάλλει πανταχόθεν. Εἰς τὴν φωτογραφίαν 4 μία τοιαύτη νησὶς σφαλερίτου ἔχει πολλαπλῶς διαρραγῇ καὶ ὑποστή διείσδυσιν ἀπὸ φλεβίδια χαλκοπυρίτου. ‘Οθεν καὶ ὁ σφαλερίτης εἶναι ἀρχαιότερος τοῦ χαλκοπυρίτου.

Τὸ αὐτὸς ἵσχυει καὶ διὰ τὸν πυρροτίνην, δστις ἐμφανίζεται εἰς σπάνια συσσωματώματα, ἀλλοτριομόρφων κρυστάλλων, ἀπομονωμένων ὡς νησῖδες ἐντὸς τοῦ χαλκοπυρίτου. Εἰς φυσικὸν φῶς ἔχει χρῶμα κιτρινόλευκον ροδόχρους καὶ ἀνακλαστικὴν ἵκανότητα μικροτέραν τῆς τοῦ χαλκοπυρίτου. Εἰς διεσταυρωμένα Nicols εἶναι ἰσχυρῶς ἀνισότεροπος μὲ χρώματα τεφροπράσινον, καστανότεφρον καὶ βαθύτεφρον.

Καὶ τὰ τρία μνημονευθέντα ὀρυκτὰ φαίνονται ἀνήκοντα εἰς γενεὰν μεταλλογενέσεως ἀρχαιοτέρων ἔκεινης τοῦ χαλκοπυρίτου.

‘Η μεγάλη ἀκρόπολη τῆς Μακεδονίας “εσφραγίδας” τοῦ μεταλλομένου ἐδέτεψε

τὴν μελέτην τῶν ἰδιοτήτων του. Οὗτω ἡ ἀνακλαστική του ἵκανότης προσδιορισθεῖσα διὰ μικροφωτομέτρου εὑρέθη 0,410 γραφικῶς καὶ 0,403 διὰ τοῦ τύπου (το). Εἰς διεσταυρωμένα Nicols είναι ἀνισότροπος μὲν χρώματα τεφροπράσινον καὶ καστανότεφρον. Παρουσιάζει συχνὴν διδυμίαν. Συναντούσσεται καὶ περιβάλλει ὑπιδιομόρφους μεγάλους κρυστάλλους ἐναργίτου.

Ο ἐναργίτης εἰς φυσικὸν φῶς είναι ἀνοικτότεφρος μὲν ἀπόχρωσιν πρὸς τὸ ροδόχρουν. Ἐν συγκρίσει μὲ τὸν περιβάλλοντα τοῦτον χαλκοπυρίτην ἔχει μικροτέραν ἀνακλαστικὴν ἵκανότητα. Αὕτη μετρηθεῖσα εὑρέθη ἴση μὲ 0,234. Εἰς διεσταυρωμένα Nicols είναι ἀνισότροπος μὲν χρώματα κυανίζοντα, ἐχούσθιζοντα ἢ πορτοκαλόχροα. Καίτοι αἱ ἀνωτέρω ἰδιότητες είναι ἀρχεταὶ διὰ τὸν χαρακτηρισμὸν τοῦ ἐναργίτου ἐπεδιώχθη ἢ ταυτοποίησις του καὶ μικροχημικῶς. Οὕτω ἔδωσε ἀρνητικὰ ἀποτελέσματα μὲ  $\text{HNO}_3$  καὶ  $\text{FeCl}_3$ , ἐνῶ ἀντέδοσε θετικῶς μὲ KCN.

Τοίτον προσδιορισθὲν χαλκοῦχον ὅρυκτὸν είναι ὁ βιορνίτης. Οὗτος είναι μεταγενέστερος τοῦ χαλκοπυρίτου ἐμφανιζόμενος εἰς ἐγκλείσματα ἢ πληρῶν ρωγμάτων ἐντὸς τούτου. Εἰς φυσικὸν φῶς είναι ροδόχρους εἰς προσφάτως λειανθεῖσαν ἐπιφάνειαν. Ἐὰν ἡ ἐπιφάνεια ἔκτεθῇ εἰς τὸν ἀέρα προσκλαμβάνει ἀποχρώσεις κυανάς ἢ ἵωδεις ἢ ἀμφοτέρας. Εἰς διεσταυρωμένα Nicols είναι ἰσότροπος.

Τὰ τοία χαλκοῦχα ὅρυκτὰ ἀποτελοῦν μίαν δευτέραν γενεὰν μεταλλογενέσεως ἡτοι ἡχολούνθησε ἐκείνην τοῦ σιδηροπυρίτου-πυρροτίνου-σφαλερίτου. Μεταξὺ ἐναργίτου καὶ χαλκοπυρίτου δὲν διαπιστοῦται διαφορὰ ἥλικιας, ἐνῶ ὁ βιορνίτης είναι ὁ τελευταῖος σχηματισθείς.

Ἐκτὸς τῶν ἀνωτέρω καὶ ὡς νεωτέρᾳ ἔλευσις διεπιστώθη ὅρυκτὸν τῆς δυάδος Ραμμελσβεργίτης-Σαφλορίτης δημιουργοῦν φλεβίδια ἐντὸς τοῦ χαλκοπυρίτου. Ἐν τοιοῦτον φλεβίδιον φαίνεται εἰς τὴν φωτογραφίαν 5.

Τὸ ὅρυκτὸν τοῦτο εἰς φυσικὸν φῶς είναι λευκὸν μὲ ἀσθενεστάτην πρὸς τὸ κυανοῦν ἀπόχρωσιν. Παρουσιάζει ἀσθενῆ πλεοχρωϊσμόν. Ἡ ἀνακλαστικὴ του ἵκανότης εὑρέθη γραφικῶς 0,583, ἐνῶ διὰ τοῦ τύπου 0,575. Εἰς διεσταυρωμένα Nicols είναι ἐντόνως ἀνισότροπον μὲ χρώματα τεφροκύανα καὶ κιτρινοποτοκαλόχροοι.

Ορυκτὰ μὲ ἰσχυρὰν ἀνακλαστικὴν ἵκανότητα καὶ συγχρόνως τόσον ἔντονον ἀνισοτροπίαν είναι μόνον τοῦ Bi, Ni, Co. Ὁμως πλὴν τῶν Λαιλινγκίτου, Ραμμελσβεργίτου καὶ Σαφλορίτου οὐδὲν τῶν ἄλλων φθάνει ἀνακλαστικὴν ἵκανότητα μεγαλυτέραν τοῦ 0,50. Ἐπομένως τὸ ὑπὸ συζήτησιν ὅρυκτὸν κατατάσσεται ἐκ μόνων τῶν διπτικῶν ἰδιοτήτων του μεταξὺ τῶν τριῶν μνημονευθέντων.

Πρὸς περαιτέρω διάκρισιν ἔγιναν μικροχημικαὶ ἀντιδράσεις διὰ  $\text{HNO}_3$  καὶ  $\text{FeCl}_3$ . Διὰ τοῦ πρώτου ἀντιδραστηρίου τὸ ὅρυκτὸν ἔγινε βαθύμελαν ἀμέσως καὶ ἤρχισε νὰ ἐκλύῃ ἀέρια. Ἡ ἀντίδρασις είναι χαρακτηριστικὴ τοῦ Ραμμελσβεργίτου - Σαφλορίτου. Ἐξ ἀλλού ὁ  $\text{FeCl}_3$  προσέδωσε Ψηφιακή Βιβλιοθήκη "Θεόφραστος" - Τμήμα Γεωλογίας. Α.Π.Θ.

έλαφράν καστανήν άπόχρωσιν εἰς τὸ δρυκτόν. Ἡ ἀντίδρασις αὕτη χαρακτηρίζει άμφοτερα.

Ο περαιτέρω διαχωρισμὸς μεταξὺ τῶν δύο ἀνωτέρω δρυκτῶν, τῶν δποίων ἡ χημικὴ σύνθεσις εἶναι πολὺ γειτονικὴ (διὰ τὸν ραμμελσβεργίτην (Ni, Co, Fe), As<sub>2</sub>, διὰ τὸν σαφλορίτην (Co, Fe) As, μὲ συμμετοχὴν καὶ Ni μέχρι 2%). δὲν εἶναι πλέον εὐκόλος διὰ τῶν συνήθων μεθόδων, διάκις μάλιστα τὰ δρυκτὰ διατίθενται εἰς μερικὰ λεπτὰ φλεβίδια ἐντὸς τοῦ ὅλου παρασκευάσματος. Ἐὰν διετίθεντο μερικοὶ ἀπομονωμένοι κρύσταλλοι θὰ ἦτο δυνατὸν νὰ γίνη διάγοραμμα Debye. Ἐπειδὴ κόνις καθαροῦ δρυκτοῦ δὲν ἔτο δυνατὸν νὰ ληφθῇ, ἐπεχειρήθη φασματοσκοπικὴ ἔξέτασις κόνεως τοῦ μεταλλεύματος ἐκ τῆς περιουχῆς τῶν φλεβίδων, ἐν γνώσει ὅτι τὸ μεγαλύτερον μέρος της ἔτο κόνις χαλκοπυρίτου.

Ἡ φασματοσκοπικὴ ἔξέτασις διὰ Bί ὑπῆρξε ἀρνητικὴ καίτοι τὸ μέταλλον τοῦτο ἀνιχνεύεται φασματοσκοπικῶς ἀκόμη καὶ εἰς τὴν πολὺ χαμηλὴν περιεκτικότητα 0,001–0,01%. Ὡστε καὶ τὸ φασματοσκόπιον εἰς Νικελοκιβαλτιοῦχον δρυκτὸν δῦνηται.

Ἐξέτασις διὰ Ni ἔδωσε θετικὸν ἀποτέλεσμα. Παρετηρήθη ἡ γραμμὴ 5476,9 Å, ἡ δποία εἶναι ἀπὸ τὰς πλέον εὐαισθήτους τοῦ Ni, ἐμφανίζομένη ἔστω καὶ ἀν ἡ περιεκτικότης κυμαίνεται μεταξὺ 0,01 καὶ 0,1%. Ὡστε τὸ δρυκτὸν εἶναι Νικελιοῦχον.

Τοῦ Co δὲν κατωρθώθη ἀνίχνευσις. Αὕτη ἄλλωστε προϋποθέτει περιεκτικότητα 0,1 μέχρι 1%, ἡτοις προφανῶς δὲν ὑπῆρχε εἰς τὴν διατιθέμενην κόνιν.

Καταλήγομεν λοιπὸν ὅτι τὸ δρυκτὸν εἶναι Ραμμελσβεργίτης, διότι, ἐὰν ἔτο Σαφλορίτης δὲν θὰ ἥδυνατο νὰ δώσῃ γραμμὴν Ni, μόνον μὲ τὸ 2%, τοῦ Ni τοῦ περιεχομένου εἰς τὸ μόριόν του κατ' ἀνώτατον ὅριον, ἐνῶ ἀντιθέτως νὰ μὴν δίδει γραμμὴν Co, τὸ δποῖον ὥφειλε νὰ πλεονάξῃ.

Ο ραμμελσβεργίτης θεωρεῖται δρυκτὸν ὑψηλῆς ἔως μέσης θερμοκρασίας. Σημειοῦται διὰ δευτέρων φοράν εἰς τὴν Ἑλλάδα. Ἀναφέρεται εὐρεθὲς εἰς Λαύριον (3) εἰς τὴν βαθυτέραν, τὴν τρίτην ἐπαφὴν παρὰ τὴν Καμάριαν.

Ἐν συμπεράσματι διὰ τὴν θέσιν Ἀμπερντὶν διαπιστοῦνται τρία μεταλλογενετικὰ στάδια: α) τὸ τῆς ὅμαδος Σιδηροπυρίτης-Πυρροτίνης-Σφαλερίτης, β) τῶν χαλκούχων: Χαλκοπυρίτης-Ἐναργίτης-Βορνίτης καὶ γ) τῶν νικελιοκιβαλτιοῦχων διὰ τοῦ Ραμμελσβεργίτου.

**Θέσις Ἀρμουντσούνη.** Η μεταλλοφορία τῆς θέσεως αὐτῆς περιορίζεται εἰς γαληνίτην, σφαλερίτην καὶ σιδηροπυρίτην. Καὶ τὰ τρία δρυκτὰ εἰς συσσωματώματα εὐμεγέθων κρυστάλλων ἢ εἰς μεμονωμένους κρυστάλλους, εὑρίσκονται ἐν διασπορᾷ ἐντὸς πυριτιωμένου – καολινιτιωμένου ἡφαστίτου εἰς τὴν γειτονίαν οργάνων. Οὐδὲν τὸ ἴδιαίτερον [παρουσίασεν ἡ μικροσκοπικὴ ἔξέτασις δειγμάτων ἐκ τῆς θέσεως ταύτης. Ἡ σειρὰ κρυσταλλώσεως φαίνεται νὰ εἶναι: σιδηροπυρίτης, σφαλερίτης, γαληνίτης.

**Θέσις "Ακ-Μπομπά.** Είς τὴν θέσιν αὐτὴν καθὼς καὶ εἰς τὴν ἐπομένην ἡ μεταλλοφορία περιορίζεται ἐντὸς καὶ εἰς τὴν γειτονίαν φηγμάτων διελαυνόντων ἡωκανικὰ κροκαλοπαγῆ καὶ ψαμμίτας μακρὰν πάσης ἐμφανίσεως ἥφαιστιτῶν. Διεπιστώθησαν τὰ ἀκόλουθα δρυκτά: Σιδηροπυρίτης, μαρκασίτης, ἀραιὰ συσσωματώματα χαλκοπυρίτου καὶ τὰ δευτερογενῆ μαλαχίτης καὶ γκαιτίτης.

Τὰ τρία πρωτογενῆ δρυκτὰ εύρισκονται εἰς ἀπομονωμένους κρυστάλλους ἢ μικρὰ συσσωματώματα ἐντὸς χαλαζίου. Ὁ μαρκασίτης εἰς δλας τὰς ἴδιότητάς του ὅμοιος μὲ τὸν σιδηροπυρίτην πλὴν τῆς ἵσχυρᾶς ἀνιστροπίας του εἰς χρώματα: κυανοῦν, κιτρινοπράσινον καὶ πορτοκαλλόχρουν, φαίνεται δὲ τελευταῖος σχηματισθεὶς μεταξὺ τῶν τριῶν.

Τὰ δευτερογενῆ μαλαχίτης καὶ γκαιτίτης προέρχονται ἀντιστοίχως ἐξ ἔξαλλοιωσεως χαλκοπυρίτου καὶ σιδηροπυρίτου. Ὁ γκαιτίτης ἐμφανίζεται εἰς ψευδομορφώσεις κατὰ σιδηροπυρίτην συχνὰ δὲ ἐντὸς τῆς μάζης του ὑπολείπονται κοκκία ἀνεξαλλοιώτου σιδηροπυρίτου. Εἰς φυσικὸν φῶς εἶναι τεφρὸς μὲ ἀσθενῆ ἀνακλαστικὴν ἵκανότητα, ἐνῶ εἰς διεσταυρωμένα Nicols εἶναι ἀσθενῶς ἀνιστροπος. Ἡ ἀνιστροπία του ὅμως εἶναι δυσκόλως ὁρατή, διότι καλύπτεται ἀπὸ τὰς ἐντονωτάτας ἐρυθροκιτρίνους ἐσωτερικὰς ἀνακλάσεις.

**Θέσις Προφήτης Ἡλίας.** Διεπιστώθη ἡ παρουσία γαληνίτου, χαλκοπυρίτου, τετραεδρίτου-τενναντίτου (Cuirvre gris), σφαλερίτου, βουρτσίτου, σιδηροπυρίτου, μαρκασίτου. Ἡ κυρία μᾶζα τοῦ μεταλλεύματος κατέχεται ἀπὸ γαληνίτην καὶ σφαλερίτην. Διὰ τὴν τρίτην θέσιν συναγωνίζονται δὲ σιδηροπυρίτης καὶ δὲ τετραεδρίτης-τενναντίτης. Οἱ βουρτσίτης καὶ μαρκασίτης ἐμφανίζονται εἰς μικρὰ ποσοστά, ἐνῶ δὲ χαλκοπυρίτης ἀποτελεῖ ἐγκλείσματα ἐντὸς τοῦ γαληνίτου καὶ σφαλερίτου.

Ο τετραεδρίτης-τενναντίτης εἰς φυσικὸν φῶς εἶναι τεφρόλευκος μὲ ἔλαφρὸν πρὸς τὸ πράσινον ἀπόχρωσιν, ἔχει ἀνακλαστικὴν ἵκανότητα 0,295 καὶ εἰς διεσταυρωμένα Nicols εἶναι ἰσότροπος. Ἐμφανίζεται εἰς ἔγκλείσματα ἐντὸς τῶν γαληνίτου καὶ σφαλερίτου, ἀλλὰ καὶ εἰς ἔκτεταμένα συσσωματώματα ἔχοντα ἀμοιβαῖα δοια (limites mutuelles) μετά τῶν δύο ἀνωτέρω δρυκτῶν. Ἡ τάξις κρυσταλλώσεως τῶν δρυκτῶν τούτων δὲν εἶναι ἀπολύτως σαφής.

Ἐν συγκεφαλαιώσει καὶ δι' ὅλας τὰ μνημονευθείσας θέσεις τὰ διαπιστωθέντα δρυκτὰ εἶναι: Ἄρσενοπυρίτης, σιδηροπυρίτης, πυρροτίνης, σφαλερίτης, γαληνίτης, χαλκοπυρίτης, ἐναργίτης, τετραεδρίτης-τενναντίτης, βιορνίτης, κοβελίνης, βουρτσίτης, μαρκασίτης, μαλαχίτης, γκαιτίτης καὶ ραμελσβεργίτης.

## Μεταλλογένεσις

Τὰ πλεῖστα ἐκ τῶν ἀναφερομένων δρυκτῶν θὰ ἡδύναντο νὰ ἔχουν περισσοτέρους τοῦ ἑνὸς τρόπους γενέσεως. Ἡ συνοδία ὅμως τὴν δοπίαν ἐν τῷ συνόλῳ των ἀποτελοῦν, συνδυαζομένη πάντοτε μὲ τὰς συντόμως ἐν ἀρχῇ σκιαγραφηθείσας κοιτασματολογικὰς παρατηρήσεις ἔνα μόνον τρόπον γενέσεως θὰ ἐπέτρεπεν νὰ υἱοθετήσωμεν, τὸν ὑδροθερμικόν.

Οὕτω οἱ ἀραιοπυρούτης, σιδηροπυρούτης, πυροφορίης, σφαλερούτης, χαλκοπυρούτης, βιορνίτης ἀναφέρονται (7) σχηματιζόμενοι εἰς ὅλα τὰ στάδια μεταλλογένεσεως ἀπὸ τοῦ ὁρθομαγματικοῦ μέχρι καὶ ἵζηματογενῶς.

Οἱ γαληνίτης, τετραεδρούτης-τενναντίτης, ἐναργίτης, κοβελίνης ἀρχίζουν κάπως ἀργότερα, δηλαδὴ ἀπὸ τοῦ πηγαδιτικοῦ κάτω ὑδροθερμικοῦ σταδίου καὶ συνεχίζονται μέχρι καὶ ἵζηματογενῶς.

Οἱ βουρτσίτης, μαρκασίτης δύνανται νὰ ἀρχίσουν σχηματιζόμενοι ἀπὸ τὸ μέσης κυρίως ὅμως τὸ χαμηλῆς θερμοκρασίας ὑδροθερμικὸν στάδιον μέχρι καὶ ἵζηματογενῶς.

‘Ο φαμμελσβεργίτης μόνον ἀναφέρεται μὲ περιορισμένον πεδίον σχηματισμοῦ, τὸ ὑψηλῆς καὶ μέσης θερμοκρασίας ὑδροθερμικὸν στάδιον.

Ἐπομένως πλὴν τοῦ φαμμελσβεργίτου ἀποθετομένου ἀπὸ μέσης τούλαχιστον θερμοκρασίας ὑδροθερμικὰ διαλύματα, ὅλα τὰ ὅλα δρυκτὰ θὰ ἡδύναντο νὰ σχηματισθοῦν ἀπὸ χαμηλῆς σχετικῶς θερμοκρασίας διαλύματα ὡς εἰς τοῦτο συνηγορεῖ ἡ παρουσία μαρκασίτου καὶ βουρτσίτου.

Ταῦτα ὅμως ἐφ’ ὅσον ἡ γένεσις ὅλων τῶν δρυκτῶν ἐγένετο μόνον εἰς μίαν περίοδον. Ἐν τούτοις ὑπάρχουν σαφεῖς ἐνδείξεις ἐκ τῆς μικροσκοπικῆς ἐξετάσεως, αἱ δοπίαι συνηγοροῦν περὶ περισσοτέρων τῆς μιᾶς περιόδων μεταλλογένεσεως, ἐπομένως καὶ περὶ τῆς δυνατότητος διαφόρου ἔκαστοτε θερμοκρασίας τῶν διαλυμάτων.

Οὕτω ἡ παρουσία τοῦ χαλκοπυρούτου κατὰ φλεβίδια διασχίζοντα τὸν σφαλερούτην καίτοι εἰς ὅλας τὰς σειρὰς σχηματισμοῦ (ὁρθομαγματική, πηγαδιτική, ὑδροθερμική) ἡ γένεσις τοῦ χαλκοπυρούτου προηγεῖται τοῦ σφαλερούτου, σαφῶς ὑποδεικνύει ἐν δεύτερον στάδιον μεταλλογένεσεως εἰς χαλκοῦχα δρυκτά, τὸ δόπον ἐπηκολούθησε ἐκεῖνο τοῦ σχηματισμοῦ τοῦ ἀραιοπυρούτου, σιδηροπυρούτου, σφαλερούτου, γαληνίτου. Ἐπίσης διὰ τὸν αὐτὸν λόγον εἰς τὸ ἔδιον συμπέρασμα ἄγει, περὶ τῆς ὑπάρχεως ἐνὸς τρίτου μεταλλογενετικοῦ σταδίου ἡ κατὰ φλεβίδια παρουσία τοῦ φαμμελσβεργίτου ἐντὸς τοῦ χαλκοπυρούτου. Ἡ ἀναστροφὴ δηλαδὴ τῆς κανονικῆς διαδοχῆς (Succession normale) κρυσταλλώσεως τῶν δρυκτῶν εἶναι πολὺ χαρακτηριστικὴ διὰ τὴν περίπτωσιν τῆς περιοχῆς Κίρκης καὶ ἀνταποκρίνεται εἰς τρία μεταλλογενετικὰ στάδια.

Ἐξ ὅλου αἱ παρατηρήσεις ὑπαίθρου συνηγοροῦν ὑπὲρ τῆς συνδέσεως τῆς κατὰ στάδια ὑδροθερμικῆς μεταλλογένεσεως μὲ τὴν ἡφαιστειακὴν Ψηφιακή Βιβλιοθήκη "Θεόφραστος" - Τμήμα Γεωλογίας. Α.Π.Θ.

δραστηριότητα τῆς περιοχῆς. Τὰ ογήματα τὰ δύοντα πληροῦνται ὑπὸ μεταλλεύματος διελαύνουν καὶ αὐτὸν τούτους τοὺς ἡφαιστίτας ἐπομένως ἢ μεταλλοφορίᾳ εἶναι μετεκρητικεγενὴς ἢ συνδέεται μὲ τὰ τελευταῖα στάδια ἡφαιστειακῆς δραστηριότητος. Παράδειγμα τῆς τελευταίας αὐτῆς περιπτώσεως εἶναι ἡ διάσπαρτος μεταλλοφορίᾳ εἰς Κίγκ - "Αρθουρ. Δεδομένου μάλιστα (9) ὅτι πολλὰ ἀπὸ τοῦ Ἡσπαρίου μέχρι τοῦ Μειοκαίνου στάδια ἡφαιστειακῆς δραστηριότητος ἐπραγματοποιήθησαν, ἢ μεταλλοφορίᾳ θὰ πρέπῃ νὰ συνδεθῇ μᾶλλον μὲ τοὺς τελευταίους δηλαδὴ τοὺς δεινωτέρους ἡφαιστίτας. Πράγματι αἱ ρυολιθικὰ φλέβες δεικνύουν ποιάν τινα σχέσιν ἀκόλουθοῦσαι κατευθύνσεις παραλλήλους πρὸς τὰ μεγάλα μεταλλοφόρα ογήματα, εἰς τὴν γειτονίαν τῶν δύοντων καὶ παρετηρήθησαν ἄλλωστε.

### R E S U M É

Dans la région de Kirki (Thrace) le mineraï des sulfures mixtes se présente sous la forme de filons dans les failles. C'est un mineraï de remplissage qui affleure aussi comme imprégnation dans les zones milonitisées. Celles-ci se trouvent au voisinage des failles, formant des poches mineralisées, de façon que le gisement conserve toujours sa forme filonienne, mais ces poches ont une allure irrégulière à côté des filons. Le mineraï suit de préférence les failles qui ont une direction NNO - SSE, quelque fois celles qui ont une direction NOO - SEE, mais presque jamais les failles de la direction NE - SO. Le mineraï est examiné en section - polies sous le microscope métallographique. Dans quelques cas des réactions microchimiques ont été utilisées et plus rarement le secours du spectroscope est demandé, pour la détermination du mineraï.

D'après l'étude ci-dessus, les minéraux constatés sont les suivants: Mispickel, Pyrite, Pyrrhotite, Blende, Galène, Chalcopyrite, Enargite, Cuivre gris, Bornite, Covellite, Wurtzite, Marcassite, Malachite, Goethite et Rammelsbergite. La gangue est constituée principalement par du Quartz, du kaolin, de la calcite et un peu de baryte.

La plupart des minéraux mentionnés ci-dessus, ont sans doute différents modes de formation. Mais d'après leur paragénèse générale et d'après les observations de terrain, une seule genèse est admissible: la formation hydrothermale. Ainsi le mispickel, la pyrite, la purrhotite, la blende, la chalcopyrite, la bornite, sont dits (7) pouvoir se former à tous les stades métallogéniques, depuis le stade magmatique, mais elles se rencontrent aussi comme minéraux sédimentaires. La galène, le cuivre-gris, l'enargite, la covellite, commencent à se former un peu plus tard, c'est à dire au stade pegma-

titique, mais ont déjà été rencontrés dans des formations sédimentaires.

La marcassite et la wurzite sont en général de formation hydrothermale d'une température moyenne mais plutôt basse, néanmoins celles-ci se rencontrent aussi dans des formations sédimentaires.

Quant à la Rammelsbergite elle ne se forme que dans le stade hydrothermal de température haute jusqu'à moyenne.

En conséquence, sauf la Rammelsbergite, tous les autres minéraux étaient probablement formés par voie hydrothermale à basse température, comme l'indique la présence de la marcassite et de la wurtzite. En ce qui concerne la génèse de la Rammelsbergite il est à souligner que les observations microscopiques montrent plusieurs stades de formation des minéraux: ce-ci permet de supposer que pendant les différents stades les solutions hydrothermales avaient des températures différentes.

Ainsi la présence de la chalcopyrite en veinules dans la blende, quoique dans toutes les séries de formation (succession normale, succession magmatique, succession hydrothermale etc.) la génèse de la chalcopyrite précède celle de la blende, montre clairement l'existence d'un deuxième stade de genèse des minéraux, c'est le stade des minéraux du cuivre qui à eu lieu après celui de la formation du mispickel, de la pyrite, de la blende et de la galène. Aussi, pour la même raison, la présence de la rammelsbergite en veinules dans la chalcopyrite conduit à la même conclusion. C'est à dire, que le renversement de la succession normale des minéraux est très caractéristique dans la région de Kirki et correspond aux trois stades de minéralisation.

D'ailleurs, les observations de terrain donnent des arguments qui permettent d'avancer que la minéralisation hydrothermale observée est en liaison avec l'activité volcanique de la région. Les failles minéralisées traversent les roches volcaniques, ce qui nous montre que la minéralisation a été réalisée soit après les derniers stades de l'activité volcanique soit a été reliée pendant les derniers stades de celle-ci. Un exemple de ce dernier cas est la minéralisation dispersée dans les roches volcaniques du lieu dit King-Arthur. Donc, étant donné que depuis l'Eocène jusqu'au Miocène plusieurs stades de volcanisme ont eu lieu, la minéralisation doit être plutôt parallelisée avec les dernières roches volcaniques c'est-à-dire avec les Rhyolites.

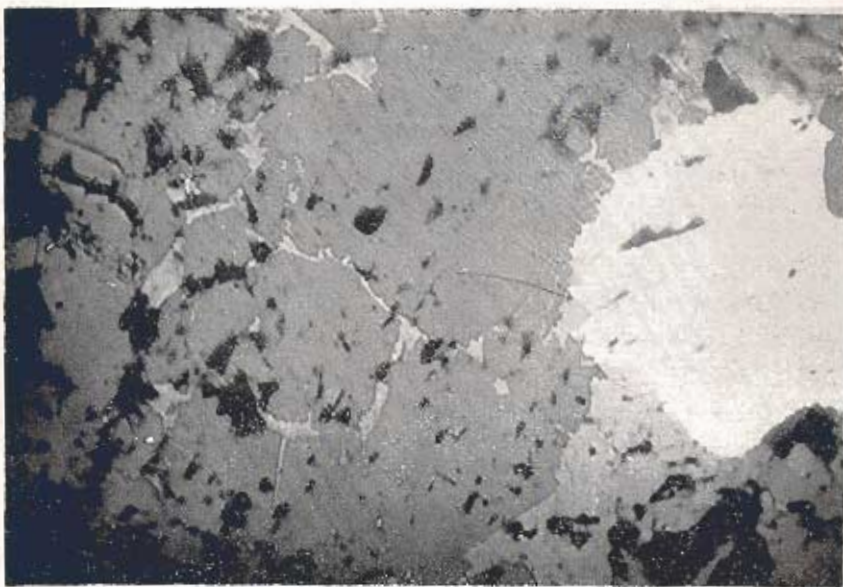
Les veines de Rhyolite montrent réellement une relation avec la minéralisation et paraissent orientées parallèlement aux failles minéralisées et à leur voisinage.

## ΒΙΒΛΙΟΓΡΑΦΙΑ

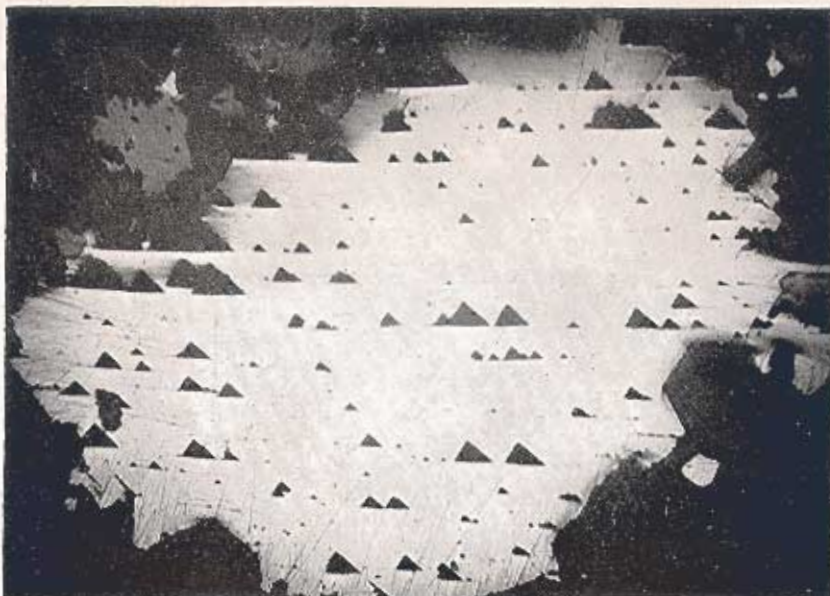
1. ΔΟΥΝΑ, Α. —Γεωλογική ἀναγνώσις καὶ δειγματοληψία Μεταλλείων Κίρκης. "Εκθεσις δακτυλογρ. 'Αθῆναι, 1953.
2. ΚΑΡΑΓΕΩΡΓΙΟΥ, Ε. —ΧΡΙΣΤΟΔΟΥΛΟΥ, Γ. —Περὶ τῆς παρουσίας τρηματοφόρων τινων α) τοῦ Μαιστριχτίου εἰς τὴν περιοχὴν Νευρουπόλεως, β) τοῦ ἀνωτέρου Λουτησίου εἰς τὴν περιοχὴν Κίρκης (Θράκη). Δελτίον Ἑλλην. Γεωλ. Ἐταιρίας, Τόμ. III, 'Αθῆναι, 1958.
3. ΜΑΡΙΝΟΥ, Γ. —Δακύριον. I.G.E.Y. Τόμ. IV, 'Αθῆναι, 1956.
4. ΜΑΡΙΝΟΥ, Γ., ΜΑΡΑΤΟΥ, Γ., ΔΟΥΝΑ, Α., ΠΑΠΑΝΙΚΟΛΑΟΥ, Ν., ΑΝΔΡΟΝΟΠΟΥΛΟΥ, Β. —Γεωλογικὴ ἔκθεσις περὶ τοῦ μεταλλευτικοῦ χώρου Κίρκης—'Αλεξανδρουπόλεως. I.G.E.Y., δακτυλογρ. 'Αθῆναι, 1960.
5. ORCEL, J. —Étude des différents types des microstructures. Faculté des Sciences de l'Université de Paris, 1957.
6. ΠΕΡΤΕΣΗ, Μ., ΠΑΠΑΣΤΑΜΑΤΙΟΥ, Ι. —Περὶ τῆς παρουσίας τοῦ ὁρυκτοῦ βιορτίτου εἰς τὰ μικτὰ θειοῦχα τοῦ μεταλλείου τῆς Κίρκης. Πρακτ. Ακαδ. 'Αθηνῶν, Τόμ. 28, 'Αθῆναι, 1953.
7. RAMDOHR, P. —Die Erzminerale und ihre Verwachsungen. Akademie Verlag- Berlin, 1955.
8. RAMDOHR, P., WEBBSKY, C. —Wurzitkristalle und Zwillinge. Neues Jahrb. für Min. Geol. und Pal., Abt. A, 1943.
9. PENTZEPERH, Π. —Οἱ τριτογενεῖς ἡφαιστῖται τοῦ Νομοῦ Ἐβρου. Διατριβὴ ἐπὶ Λιδανοσογίᾳ. Θεσσαλονίκη, 1956.
10. SCHNEIDERHÖHN, H. —Erzmikroskopisches Praktikum, Stuttgart, 1952.



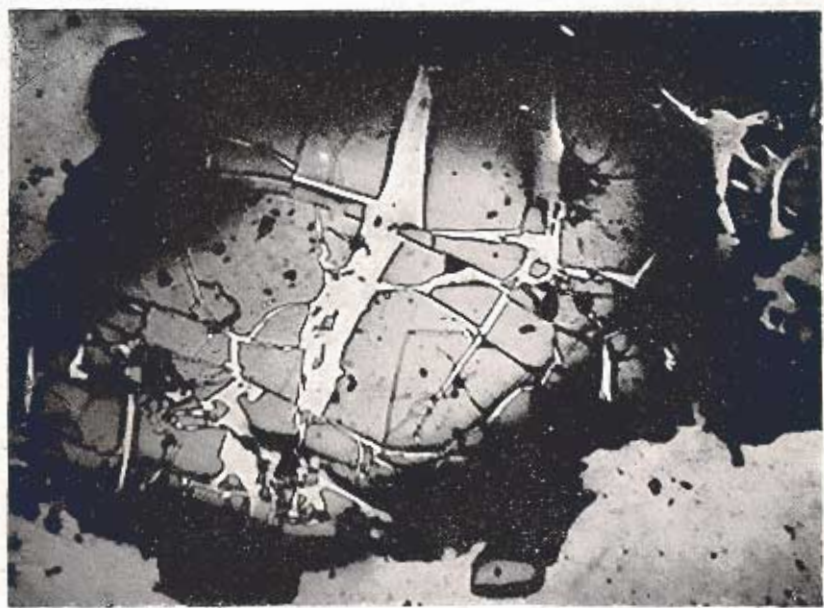
Φωτογρ. 1. Πολυάριθμα ἐγκλείσματα Χαλκοπυρίτου (λευκόν) ἐντὸς Σφαλερίτου (τεφρόν). μεγ. x 280



Φωτογρ. 2. Φλεβίδια χαλκοπυρίτου ἐντὸς σφαλερίτου (τεφρόν).  
·Αμοιβαίσα δρια μεταξύ γαληνίτου (λευκόν) καὶ  
χαλκοπυρίτου (σκιερώτερον γαληνίτου, φωτεινότερον  
σφαλερίτου) μεγ. x 160



Φωτογρ. 3. Τρίγωνα σχισμοῦ γαληνίτου θαυμασίως προσανατολισμένα.  
μεγ. x 80



Φωτογρ. 4. Νησίς οφάλερίτου (τεφρόν) περιβαλλομένη ἀπό μὴ μεταλλικά δύσκτά (μέλαν) καὶ χαλκοπυρίτην (φωτεινότερον). "Ο χαλκοπυρίτης διεισδύει ὡς φλεβίδια ἐντὸς τοῦ οφάλερίτου. μεγ. x 80  
Ψηφιακή Βιβλιοθήκη "Θεόφραστος" - Τμήμα Γεωλογίας. Α.Π.Θ.



Φωτογρ. 5. Ραμμελσβευγίτης ὡς φλεβίδιον (λευκόν) ἐντὸς χαλκοπυρίτου.  
μεγ. x 80